

大水深離岸構造物背後の海浜変形

徳島大学工学部 正員 ○三井 宏
日本テトラポッド 正員 越智 裕

1. 研究目的

空港、下水処理場、塵埃処理場、各種工場、石油備蓄施設など騒音や悪臭を出すもの、汚いもの、危険などの立地は、近年きわめて困難に悩まされており、残された場所は海上空間しかないと言われるほどである。水深20m程度の地点に大規模な人工島を建設することは、技術と工費の面で恐らく可能であろうが、海象、気象、生態系などに何らかの影響を与えるものと思われる。本研究では、人工島造成により周辺海域の波の分布が変化し、それに伴って背後の海浜の漂砂がどのように変化するかを模型実験によって定性的に観察し、背後の海浜地形変化と人工島規模、波との関係を少しでも明らかにすることを目的としている。

2. 実験方法

一端にフランジャー型造波機を設けてある幅15m、長さ30m、水深20cmの平面水槽の他端に、海岸勾配1/30、汀線と造波板とのすす角度30°の模型海岸を中央粒径0.45mmの天然砂で作成した。この天然砂は実験用いた波ではほとんど移動しない。漂砂用のトレーサーとして、天然砂との区別が容易であり、短時間で移動状況を観測できる《おがくず》を用いた。この流降速度0.26cm/secに対応する天然砂換算中央粒径は0.040mmである。実験用いた波はT=0.8sec, L₀=99.84cm、深海入射角α₀=34.24°、深海波高H₀は2.28cm、4.90cmの2種類、したがってH₀/L₀はそれぞれ0.023、0.044の2種類である。碎波指標による碎波水深h_bはそれぞれ3.13cm、5.57cmである。換算中央粒径とH₀/L₀を岩垣・野田の判定曲線においてみると、前者は正常海浜、後者は暴風海浜となる。人工島の模型は、背後海域を対象にしているので、不透過鉛直壁の離岸堤とした。この離岸堤の長さは4, 6, 8mの3種類、その設置位置は汀線から直角方向に測って沖側4, 6, 14mの3種類である。波が2種類あり、離岸堤を置かない自然海浜の場合もあるので、以上を組み合せると合計26種類の実験ケースとなる。漂砂上流側の水槽側壁から約1m離れた平行線上、汀線から2m沖(碎波点より少し沖)までの区間に約60ℓのトレーサーを置き、造波開始後、暴風海浜では1分ごと、正常海浜では2分ごとにカラー写真を撮り、暗室内でトレーサーの移動状況を判読した。

3. 実験結果

以上の本実験のあとで行った暴風海浜における長さ6mの離岸堤背後の沿岸流の目視観測結果(赤インキトレーサーによる)をまず報告する。図-1にその特徴的な流れの様子を示す。離岸堤端O, O'から出ている鎖線は入射回折境界線で、それを軸とする複数枚物線の内部は、入射波と回折波との遷移領域である。離岸堤端O'背後の分岐流の発生原因は次のように考えられる。碎波線以浅ではwave set-upが起り、波高が大で水位上昇が大きい入射領域からこもれが小さい回折領域に向かう流れを生じ、一方、入射領域では斜め碎波による通常の右方向への沿岸流を生じる。右方向への分岐流はこの沿岸流速に一致するまで場所的に加速する。堤端O'背後の入射領域では斜め碎波による沿岸流である。この流速は波高が小にするほど小さくなるはずであるが、O'背後の数枚物線内ではwave set-upによる流れも付加するため、それほど減速しない。しかし、ついには左方向に向かう分岐流と衝突して減速

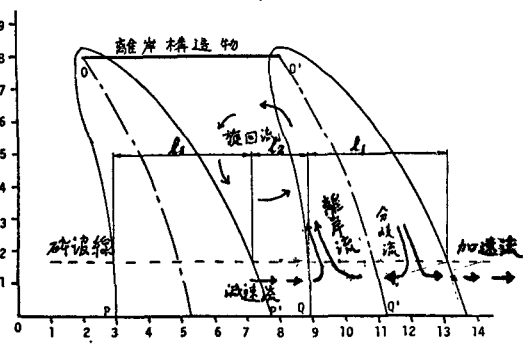


図-1 離岸堤背後の流況概念図

し、離岸流が発生する。離岸堤背後に見らるる種やかの旋回流はこの離岸流によるものと思われる。目視観測結果によれば、離岸堤の設置位置が沖側にあるほど、上流側入射領域の沿岸流はほとんど減速せずに離岸堤背後領域に侵入し、今岐流、離岸流、旋回流の発生位置は下流側に移動するとともに、これらの流速は小さくなり、つりにはこれらの現象が観察されるにようになる。

図-2におがくずトレーサーの移動状況の判読結果の一部(暴風海浜:離岸堤を設置しない自然海浜、6m堤長の離岸堤を汀線から沖4, 6, 8, 14mの地点に設置した場合)を示す。この図に採用した曲線の下端で示す観測時間は造波開始後、自然海浜の場合0, 2, 4, 6, 7分後、離岸堤設置の場合0, 4, 8, 12, 15分後である。各ケースとも左端に見立てた堆積地点はトレーサーの初期設置場所である。図中に記入したパラメタ($H_b/L_b \cdot (l_2/l_1)$)は次の考え方によるものである。すなはち、大まかに図-1の入射側被物線上の波高は入射波高に等しく、回折側被物線上の波高は0とする。自然海浜での碎波線がこの被物線を切る継分長を l_1 とし、碎波緩沿いの波高勾配 $(H_b - 0)/l_1 = H_b/l_1$ がwave set-upによる沿岸流速に比例すると考える。 γ の値が大きいほど離岸堤による沿岸流変化が大きい。一方、両被物線内側で碎波線が切る継分長 l_2 が碎波緩での波長 L_b を基準長として、大さるほど沿岸流変化は大きい。したがって、二の2つを乘じた($H_b/L_b \cdot (l_2/l_1)$)は、離岸堤が背後海岸地形に与える影響の強さを表わすパラメタと考えられよう。自然海浜を除いた24ケースの実験でのこの値の最大および最小値は、正常海浜の場合それぞれ0.091,-0.012、暴風海浜の場合0.145,-0.015であった。以上の実験結果から得られた結果を以下に列記する。(1)下流側の離岸堤端からの入射回折境界線が汀線と交かる付近の碎波帶内で発生する分岐流が、上流側からの沿岸流と衝突して離岸流となる地点にトンボロが発生し、旋回流とともにトレーサーをトラップする。(2)堤長が短く、設置位置が沖にあるほど、換言すればパラメタ($H_b/L_b \cdot (l_2/l_1)$)の値が小さくなるほど、トンボロの発生位置は沿岸流下流側に移動し、その規模も小さくなる。(3)パラメタが0以下になると、離岸堤背後の沿岸流は自然海浜のそれとほぼ同様になり、背後の海岸地形への影響はほとんどなくなる。

最後に、実験の遂行と資料整理に貢献された大阪建設の小笠原久男、住友建設の広谷泉兩氏に厚く感謝する。

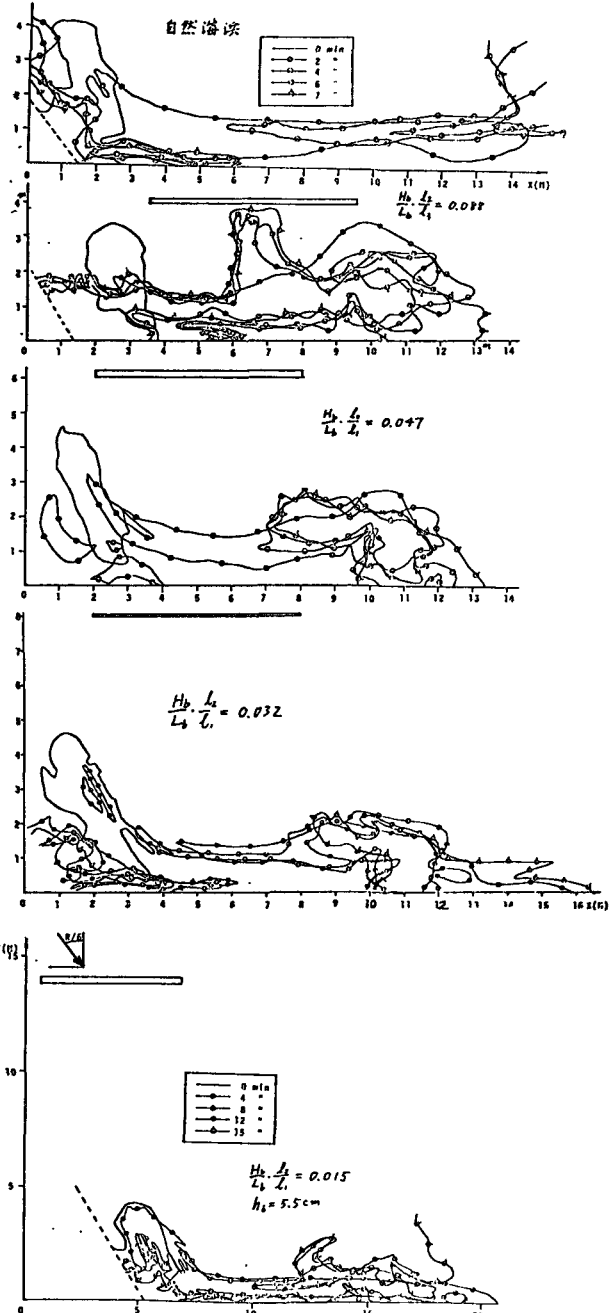


図-2 オガクズトレーサーの移動状況